

.  
.  
.

# Kvantové evoluční rovnice Kleinova<sup>1</sup>- Gordonova<sup>2</sup> typu

Miloslav Znojil

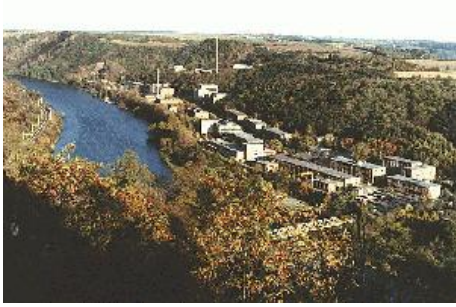
ÚJF AV ČR, 250 68 Řež  
znojil@ujf.cas.cz  
<http://gemma.ujf.cas.cz/~znojil/>

.  
.  
**seminář současné matematiky**  
KM FJFI, 18. února 2022

---

<sup>1</sup>O. Klein, Zeit. f. Phys. 37 (1926) 895 - 906.

<sup>2</sup>W. Gordon, Zeit. f. Phys. 40 (1926) 117 - 133.



věda z ptačí perspektivy:

- . náš ústav v Řeži,
- . přijďte se někdy podívat!

.  
. .  
. . .  
. . . .  
. . . . .

## A. ÚVOD

z pohledu matematiky jde o **rovnice**, velmi často, **diferenciální**:

(a) nejjednodušší je *stacionární* případ:

$$\left( \frac{\partial^2}{\partial t^2} + D \right) \psi^{(KG)}(\vec{x}, t) = 0, \quad D = -\Delta + m^2$$

(fyzikální pozadí: relativistická QM; jednotky  $\hbar = c = 1$ , skalární interakci lze zavést pomocí  $m^2 = m^2(\vec{x})$ )

(b) kvůli **kvantování**, *Feshbach a Villars*<sup>3</sup> zaměnili proměnné,

$$\psi^{(KG)}(\vec{x}, t) \rightarrow \langle \vec{x} | \psi^{(FV)}(t) \rangle = \begin{pmatrix} i\partial_t \psi^{(KG)}(\vec{x}, t) \\ \psi^{(KG)}(\vec{x}, t) \end{pmatrix}$$

(c) a získali *Schrödingerovu rovnici*, nicméně evoluce zůstala **neunitární**: *hic salta!*

$$i \frac{\partial}{\partial t} |\psi^{(FV)}(t)\rangle = H_{(FV)} |\psi^{(FV)}(t)\rangle, \quad H_{(FV)} = \begin{pmatrix} 0 & D \\ I & 0 \end{pmatrix} \neq H_{(FV)}^\dagger$$

---

<sup>3</sup>H. Feshbach and F. Villars, Rev. Mod. Phys. 30, 24 (1958).

.  
. .  
. .  
. .  
. .

## B. KVANTOVÁ MECHANIKA KG SYSTÉMŮ

## I. připomeňme si stručně **životaběh** KG QM:

dávno: studium vlnových rovnic (fyzika: [relativistická kinematika](#))

první (neúspěšný) pokus o kvantování: [Erwin Rudolf Alexander Schödinger](#)

později změna pohledu: [Paul Adrien Maurice Dirac](#)

jiným směrem vedoucí alternativa: [Schwinger et al](#) a kvantová teorie polí

jen částečně úspěšný byl i výšezmíněný pokus [Feshbacha a Villarse \(1958\)](#)

nedávno **unitární** KG QM konečně zformulována: [Ali Mostafazadeh \(2003\)](#)<sup>4</sup>

letos: KG QM se uchází o pozornost i **na KM FJFI** (vypsána **bakalářka!**)

---

<sup>4</sup>A. Mostafazadeh, Class. Quant. Grav. 20, 155 (2003).

## II. sourozenci KG QM:

dávno: vlnové rovnice **klasické**, nekvantované (dynamika skalárních polí)

čtyřicátá léta: KG rovnice coby součást aparátu relativistické kvantové **teorie polí**

šedesátá léta: kanonické **kvantování gravitace** a **Wheelerova-DeWittova** (WDW) rovnice

před dvaceti lety: **unitární** interpretace **stacionárních** rovnic KG typu (**Proca, etc**)

nedávno: studium rovnic KG typu s **nestacionárním** hmotovým členem (**MZ, 2017**)<sup>5</sup>

v budoucnu, **možná**, řešení některých souvisejících otevřených problémů.

---

<sup>5</sup>M. Z., "Non-Hermitian interaction representation and its use in relativistic quantum mechanics." Annals of Physics (NY) 385 (2017) pp. 162 - 179, doi: 10.1016/j.aop.2017.08.009 (arXiv:1702.08493v2).

.  
. .  
. .  
. .  
. .

## C. KLÍČ K ŘEŠENÍ: KRYPTO-HERMITOVSKÁ QM



## I. širší rámec: konvenční QM

(a1) obvykle řešíme Schrödingerovu evoluční rovnici pro  $|\psi(t)\rangle \in \mathcal{H}^{(textbook)}$ ,

$$i \frac{\partial}{\partial t} |\psi(t)\rangle = \mathfrak{h}_{(SR)} |\psi(t)\rangle$$

(a2) k predikci měření pak musíme spočítat maticové elementy pozorovatelných,

$$\langle \psi^{(SR)}(t_f) | \mathfrak{q}_{(SR)}(t_f) | \psi^{(SR)}(t_f) \rangle$$

(a3) oba výpočty často usnadňuje iasospektrální (pre)diagonalizace Hamiltoniánu,

$$\mathfrak{h}_{(SR)} \rightarrow H_{(SR)} = \Omega^{-1} \mathfrak{h}_{(SR)} \Omega$$

(a4) unitarita vývoje je vždy<sup>6</sup> ekvivalentní samosdruženosti Hamiltoniánu,

$$\mathfrak{h}_{(SR)} = \mathfrak{h}_{(SR)}^\dagger$$

---

<sup>6</sup>Stone, M. H. On one-parameter unitary groups in Hilbert space. *Ann. Math.* **33**, 643 - 648 (1932).

## II. Dysonova stařičká, pragmaticky motivovaná úprava rámce

(*neunitární* stacionární transformace motivovaná potřebami mnohočástečové fyziky<sup>7</sup>)

(b1) “fermionový”  $|\psi\rangle \in \mathcal{H}^{(textbook)}$  je chápán jako obraz “bozonového”  $|\psi\rangle \in \mathcal{H}^{(easy)}$ ,

$$|\psi_n^{(textbook)}(t)\rangle = \Omega_{(Dyson)}(n, t) |\psi_n^{(easy)}(t)\rangle, \quad n = 0, 1, \dots$$

(b2) zobrazení  $\Omega : \mathcal{H}^{(easy)} \rightarrow \mathcal{H}^{(textbook)}$  zvolíme univerzální, neunitární,

$$|\psi(t)\rangle = \Omega |\psi(t)\rangle, \quad \Omega^\dagger \Omega = \Theta \neq I$$

(b3) **předpoklad použitelnosti**: že v  $\mathcal{H}^{(easy)}$  se popis stane **mnohem** jednodušším,

$$i \frac{\partial}{\partial t} |\psi(t)\rangle = H |\psi(t)\rangle, \quad H = \Omega^{-1} \mathfrak{h}_{(SR)} \Omega$$

(b4) Hermiticita nabude v  $\mathcal{H}^{(easy)}$  skryté formy zvané **kvazi-Hermiticita**,

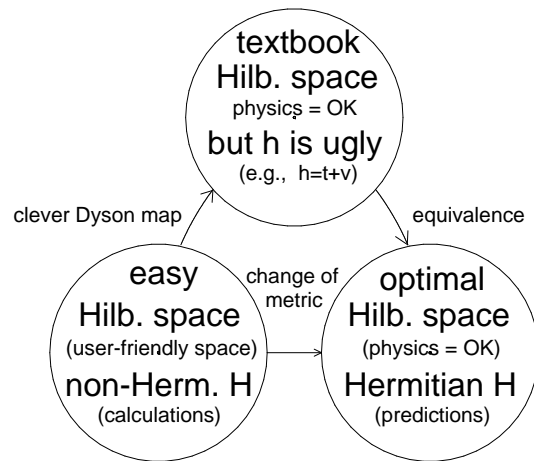
$$H^\dagger \Theta = \Theta H$$

(b5) **podstatné**:  $\mathcal{H}^{(easy)}$  se liší od  $\mathcal{H}^{(optimal)} \sim \mathcal{H}^{(textbook)}$  pouze vnitřním součinem,

$$\langle \psi_1 | \psi_2 \rangle^{(easy)} = \langle \psi_1 | \psi_2 \rangle \rightarrow \langle \psi_1 | \psi_2 \rangle^{(optimal)} = \langle \psi_1 | \Theta | \psi_2 \rangle \equiv \langle \psi_1 | \psi_2 \rangle^{(textbook)}$$

---

<sup>7</sup>F. J. Dyson, Phys Rev 102, 1217 (1956).



Obrázek 1: Dysonovská trojice relevantních Hilbertových prostorů.

---

<sup>8</sup>M. Znojil, Three-Hilbert-space formulation of Quantum Mechanics, SIGMA 5 (2009), 001

.  
. .  
. .  
. .  
. .

## D. APLIKACE STACIONÁRNÍ KG QM

I. potřebujeme postupovat v opačném směru<sup>9</sup>, od  $\mathcal{H}^{(easy)}$  k  $\mathcal{H}^{(textbook)}$

(c1) v  $\mathcal{H}^{(easy)}$  necht' je **předem** zadán **nehermitovský Hamiltonián**  $H$  a evoluční rovnice

$$i \frac{\partial}{\partial t} |\psi(t)\rangle = H |\psi(t)\rangle$$

(c2) podmínka kvazi-Hermiticity se stane rovnicí: **hledáme metriku**  $\Theta = \Theta(H)$ ,

$$H^\dagger \Theta(H) = \Theta(H) H$$

(c3) znalost metriky pak umožní i definici Dysonova zobrazení  $\Omega = \Omega(H)$ ,

$$\Theta(H) = \Omega^\dagger(H) \Omega(H)$$

(c4) konstrukce je formálně aplikovatelná na všechny Hamiltoniány KG typu.

---

<sup>9</sup>Scholtz, F. G., Geyer, H. B. & Hahne, F. J. W.

Quasi-Hermitian operators in quantum mechanics and the variational principle.

*Ann. Phys. (NY)* **213**, 74 - 101 (1992).

## II. specifické rysy standardních KG modelů<sup>10</sup>

= máme  $H \neq H^\dagger$ , takže Hilbertův prostor  $\mathcal{H}^{(easy)}$  je nefyzikální

= tentýž prostor  $\mathcal{H}^{(easy)}$  nabízí ovšem *matematicky optimální* reprezentaci stavů

= výhoda: v této reprezentaci zůstává použitelné i Diracovo bra-ketové značení

= libovolná pozorovatelná  $\Lambda$  (včetně  $\Lambda_0 = H$ ) musí být  $\Theta$ -kvazi-hermitovská,

$$\Lambda^\dagger \Theta = \Theta \Lambda$$

= fyzikální predikce učiněné v  $\mathcal{H}^{(textbook)}$  a v  $\mathcal{H}^{(optimal)}$  jsou nerozlišitelné,

$$\langle \psi_a | \lambda | \psi_b \rangle = \langle \psi_a | \Theta \Lambda | \psi_b \rangle$$

= konstrukce  $\Theta = \Theta(H)$  zaručující unitaritu vývoje v  $\mathcal{H}^{(optimal)}$  není jednoznačná

---

<sup>10</sup>I. Semorádová, Acta Polytechnica 57 (2017) 462 - 466.

### III. vzorek otevřených otázek a trendů aktuálního bádání

- .... = matematické aspekty nejednoznačnosti metriky<sup>11</sup>
- = fyzikální předpoklady odstranění nejednoznačnosti metriky<sup>12</sup>
- = poruchová teorie a stabilita a fázové přechody v rámci KG QM
- = techniky diskretizace KG rovnice a manipulačního  $\mathcal{H}^{(easy)} = \mathcal{L}^2(\mathbb{R}^3) \oplus \mathcal{L}^2(\mathbb{R}^3)$
- = souvislosti se supersymetrií<sup>13</sup> a s teorií pole
- = možnosti inovace Pauliho a Weisskopfova<sup>14</sup> přístupu s indefinitní metrikou<sup>15</sup>,

$$\langle \psi_1 | \psi_2 \rangle \rightarrow (\psi_1, \psi_2)_{(Krein-space)} = \langle \psi_1 | \mathcal{P}_{(PW)} | \psi_2 \rangle$$

---

<sup>11</sup>D. Krejčířík, V. Lotoreichik and M. Znojil,

The minimally anisotropic metric operator in quasi-Hermitian quantum mechanics.

Proc. Roy. Soc. A: Math. Phys. Eng. Sci. 474, 20180264 (2018).

<sup>12</sup>M. Znojil, I. Semorádová, F. Ruzicka, H. Moulla a I. Leghrib,

Problem of the coexistence of several non-Hermitian observables in PT-symmetric quantum mechanics.

Phys. Rev. A 95, 042122 (2017) (arXiv:1610.09396v2).

<sup>13</sup>M. Znojil, Relativistic supersymmetric quantum mechanics based on Klein-Gordon equation.

J Phys A: Math Gen 37 (2004) 9557 - 9571.

<sup>14</sup>W. Pauli and V. Weisskopf, Helv. Phys. Acta 7, 709 (1934).

<sup>15</sup>J. Feinberg and M. Znojil, Which metrics are consistent with a given pseudo-hermitian matrix?

J. Math. Phys. 63 (2022) 013505 (arXiv:2111.04216).

.  
. .  
. .  
. .

## E. OBECNĚJŠÍ, NESTACIONÁRNÍ SYSTÉMY KG TYPU

.  
(hlavní fyzikální motivace: *kvantování gravitace* pomocí Wheelerovy-DeWittovy rovnice)



## I. studium nestacionárních systémů je mimořádně zajímavé:

(a) odráží potřebu obecné skalární KG interakce s nestacionárním  $m^2 = m^2(\vec{x}, t)$

(b) vyžaduje popis evoluce vektorů v nehermitovské interakční representaci,

$$\left( \frac{\partial^2}{\partial t^2} + D(t) \right) \psi^{(KG)}(\vec{x}, t) = 0, \quad D(t) = -\Delta + m^2(\vec{x}, t).$$

tj. FV ansatz 
$$\langle \vec{x} | \psi^{(NIR)}(t) \rangle = \begin{pmatrix} i\partial_t \psi^{(KG)}(\vec{x}, t) \\ \psi^{(KG)}(\vec{x}, t) \end{pmatrix}$$

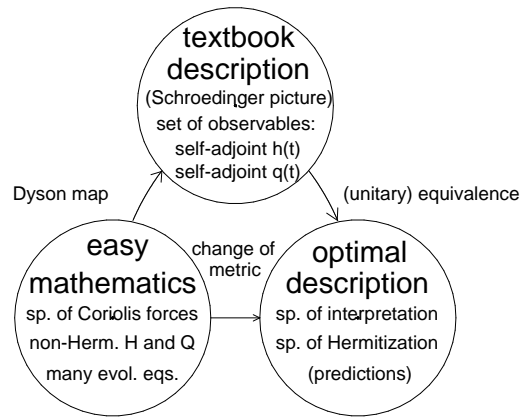
a evoluční rovnici s **nekvazihermitovským** generátorem  $G(t)$ ,

$$\langle \vec{x} | \psi^{(NIR)}(t) \rangle = \begin{pmatrix} i\partial_t \psi^{(KG)}(\vec{x}, t) \\ \psi^{(KG)}(\vec{x}, t) \end{pmatrix}, \quad i\frac{\partial}{\partial t} |\psi^{(NIR)}(t)\rangle = \begin{pmatrix} 0 & D(t) \\ I & 0 \end{pmatrix} |\psi^{(NIR)}(t)\rangle$$

(c) umožňuje konstrukci  $\mathcal{H}^{(optimal)}$  prostřednictvím sdružené rovnice,

$$|\psi_{\Theta}^{(NIR)}\rangle = \Theta(t) |\psi^{(NIR)}\rangle, \quad i\frac{\partial}{\partial t} |\psi_{\Theta}^{(NIR)}(t)\rangle = \begin{pmatrix} 0 & I \\ D^*(t) & 0 \end{pmatrix} |\psi_{\Theta}^{(NIR)}(t)\rangle.$$

(d) teorie<sup>16</sup> umožňuje zaručit **unitaritu** časového vývoje



Obrázek 2: Nehermitovská dynamika v nestacionární teorii.

---

<sup>16</sup>M. Znojil, Time-dependent version of cryptohermitian quantum theory. Phys. Rev. D 78 (2008) 085003 (arXiv:0809.2874v1)

## II. matematika pro modely s časově závislou Dysonovou transformací

(1) především máme dedikovanou evoluční rovnici

$$\begin{aligned}i \frac{\partial}{\partial t} \Omega^{(NIR)}(t) &= \Omega^{(NIR)}(t) \Sigma^{(NIR)}(t), \\ \Sigma^{(NIR)}(t) &= H^{(NIR)}(t) - G^{(NIR)}(t)\end{aligned}$$

kde  $\Sigma^{(NIR)}(t)$  je coriolisovský generátor vývoje operátorových pozorovatelných

$$\begin{aligned}i \frac{\partial}{\partial t} \Lambda^{(NIR)}(t) &= \Lambda^{(NIR)}(t) \Sigma^{(NIR)}(t) - \Sigma^{(NIR)}(t) \Lambda^{(NIR)}(t) + K^{(NIR)}(t) \\ K^{(NIR)}(t) &= \Omega^{(-1)}(t) i \dot{\mathfrak{h}}_{(SR)}(t) \Omega(t).\end{aligned}$$

a kde pro  $\Lambda_0 = H$  máme rovněž, rovnocenně,

$$i \frac{\partial}{\partial t} H^{(NIR)}(t) = G^{(NIR)}(t) H^{(NIR)}(t) - H^{(NIR)}(t) G^{(NIR)}(t) + K^{(NIR)}(t)$$

(2) dále máme Schrödingerovu rovnici pro kety v  $\mathcal{H}^{(E)}$ ,

$$i\frac{\partial}{\partial t} |\psi(t)\rangle = G(t) |\psi(t)\rangle, \quad |\psi(t)\rangle = \Omega(t) |\psi(t)\rangle \in \mathcal{H}^{(T)}, \quad |\psi(t)\rangle \in \mathcal{H}^{(E)}$$

(3) a máme Schrödingerovu rovnici pro bra-vektory v  $\mathcal{H}^{(E)}$ ,

duální koncept:  $\Theta(t) |\psi(t)\rangle \equiv |\psi_{\Theta}(t)\rangle$

$$|\psi(t)\rangle = [\Omega^{\dagger}(t)]^{-1} |\psi_{\Theta}(t)\rangle \in \mathcal{H}^{(T)}, \quad |\psi_{\Theta}(t)\rangle \equiv \Theta(t) |\psi(t)\rangle \in \mathcal{H}^{(E)}.$$

a komplementární rovnici

$$i\frac{\partial}{\partial t} |\psi_{\Theta}(t)\rangle = G^{\dagger}(t) |\psi_{\Theta}(t)\rangle$$

(4) a máme taky značný notační chaos v literatuře<sup>17</sup>

.....(a) “transformovaný Hamiltonián”  $H(t) = \Omega^{(-1)}(t) \mathfrak{h}_{(SR)}(t) \Omega(t)$  zůstává bezejmenný

(b) pozorovatelný přitom není “schrödingerovský Hamiltonián”  $G(t)$  (pro nás “generátor”)

(c) ani obvykle bezejmenný “heisenbergovský Hamiltonián”  $\Sigma(t)$  (pro nás “Coriolis”)

(d) mezi těmito třemi “Hamiltoniány” platí vztah  $H(t) - G(t) = \Sigma(t) = i\Omega^{-1}(t)\dot{\Omega}(t)$

---

<sup>17</sup>A. Mostafazadeh, Pseudo-Hermitian repres. of QM, Int. J. Geom. Meth. Mod. Phys. 7, 1191 (2010).

Tabulka 1: vzorek docela nepříjemných rozdílů ve značení.

symbol	meaning	Ref. [1]	Ref. [2]	Ref. [3]
$\Omega$	Dyson's map	$\rho$	$\eta$	$S$
$\Theta$	$= \Omega^\dagger \Omega$ , the metric	$\eta_+$	$\rho$	$\tilde{T}$
$ \psi\rangle$	state vector	$ \psi\rangle$	$\Psi$	$ \Psi\rangle$
$G$	the generator of kets	—	$H$	—
$\mathfrak{h}$	textbook Hamiltonian	$h$	$h$	—
$\Sigma$	Coriolis Hamiltonian	—	unabbr.	—
$H$	observable Hamiltonian	$H$	$\tilde{H}$	$H$
$ \psi_\Theta\rangle$	dual state vector	$ \phi\rangle$	$\rho\Psi$	$\tilde{T} \Psi\rangle$

## Reference

- [1] A. Mostafazadeh, Int. J. Geom. Meth. Mod. Phys. 7, 1191 (2010).
- [2] A. Fring and M. H. Y. Moussa, Phys. Rev. A 93, 042114 (2016);
- [3] F. G. Scholtz, H. B. Geyer and F. J. W. Hahne, Ann. Phys. (NY) 213, 74 (1992).

čili máme QM v nehermitovské interakční reprezentaci (NIR):

(5) evoluce pozorovatelné  $Q(t)$  je dána Heisenbergovou rovnicí

$$i \frac{\partial}{\partial t} Q(t) = Q(t)\Sigma(t) - \Sigma(t)Q(t) + K(t), \quad K(t) = \Omega^{(-1)}(t)i\dot{\mathbf{q}}_{(SR)}(t)\Omega(t).$$

(6) stav je formálně reprezentován projektorem

$$\pi_{\psi,\Theta}(t) = |\psi(t)\rangle \frac{1}{\langle \psi_{\Theta}(t)|\psi(t)\rangle} \langle \psi_{\Theta}(t)|$$

nebo maticí hustoty

$$\hat{\varrho}(t) = \sum_k |\psi^{(k)}(t)\rangle \frac{p_k}{\langle \psi_{\Theta}^{(k)}(t)|\psi^{(k)}(t)\rangle} \langle \psi_{\Theta}^{(k)}(t)|, \quad \sum_k p_k = 1$$

(7) jestliže  $p_k \neq p_k(t)$ , evoluční rovnice kvantové statistické mechaniky má tvar

$$i \partial_t \hat{\varrho}(t) = G(t)\hat{\varrho}(t) - \hat{\varrho}(t)G(t)$$

(8) v jazyce superoperátorů lze mluvit o generátoru evoluce  $\mathcal{G}(t)$  zvaném nehermitovský Liouvillean.

## shrnutí: máme

tři generátory časového vývoje

..... $G(t)$  (pro kety),  $G^\dagger(t)$  (h.c. v  $\mathcal{H}^{(easy)}$ ), a  
 $\Sigma(t)$  (heisenbergovský Coriolis pro pozorovatelné).

při volbě  $G(t) = 0$  (tj.  $\Sigma(t) = H(t)$ ) dostaneme

. nehermitovskou verzi Heisenbergovy reprezentace

při řešení rovnic je třeba “dobře” zvolit počáteční hodnoty

predikce měření bude dána výpočtem maticových elementů

$$\langle \psi_\Theta(t_f) | Q(t_f) | \psi(t_f) \rangle$$

při práci lze odvodit a použít rozličné užitečné vztahy

$$i \frac{\partial}{\partial t} \Theta(t) = \Theta(t) \Sigma(t) - \Sigma^\dagger(t) \Theta(t).$$

$$i \frac{\partial}{\partial t} \Theta(t) = G^\dagger(t) \Theta(t) - \Theta(t) G(t).$$

.  
. .  
. .  
. .  
. .

## **F. SYSTEMATICKÉ KONSTRUKCE KONKRÉTNÍCH MODELŮ**



## I. příklad: jak si počínat, máme-li zadánu matici $G(t)$

(1) zvolíme počáteční stav, tj. dvě  $N$ -tice vektorů

$$|\psi_1(0)\rangle, |\psi_2(0)\rangle, \dots, |\psi_N(0)\rangle$$

$$|\psi_{1,\Theta}(0)\rangle, |\psi_{2,\Theta}(0)\rangle, \dots, |\psi_{N,\Theta}(0)\rangle$$

(2) ověříme jejich úplnost a bi-orthonormalitu,

$$\sum_{n=1}^N |\psi_n(0)\rangle \langle \psi_{n,\Theta}(0)| = I$$

$$\langle \psi_{m,\Theta}(0) | \psi_n(0) \rangle = \delta_{m,n}, \quad m, n = 1, 2, \dots, N$$

(3) vygenerujeme stavové vektory pro všechna  $t$ ,

$$|\psi_1(t)\rangle, |\psi_2(t)\rangle, \dots, |\psi_N(t)\rangle$$

$$|\psi_{1,\Theta}(t)\rangle, |\psi_{2,\Theta}(t)\rangle, \dots, |\psi_{N,\Theta}(t)\rangle$$

(4) ověříme jejich úplnost a bi-orthonormalitu (měly by přežít: je to test kvality řešení),

$$\sum_{n=1}^N |\psi_n(t)\rangle \langle \psi_{n,\Theta}(t)| = I, \quad \langle \psi_{1,\Theta}(t) | \psi_n(t) \rangle = \delta_{m,n}, \quad m, n = 1, 2, \dots, N.$$

(5) zrekonstruujeme metriku

**Theorem 1** ... the metric operator  $\Theta(t)$  has the following formal representation in  $\mathcal{H}^{(E)}$ ,

$$\Theta(t) = \sum_{n=1}^N |\psi_{n,\Theta}(t)\rangle \langle \psi_{n,\Theta}(t)|$$

(6) doplníme dynamiku, tj. definici Hamiltoniánu

$$H(t) = \sum_{n=1}^N |\psi_n(t)\rangle E_n(t) \langle \psi_{n,\Theta}(t)|$$

(a vyhneme se problémům volivše  $E_n(t) = E_n(0) = E_n$ )

(7) zdiagonalizujeme  $\Theta(t) = \mathcal{U}^\dagger(t)\theta^2(t)\mathcal{U}(t)$  a zrekonstruujeme Dysonův operátor,

$$\Omega(t) = \mathcal{V}^\dagger(t)\theta(t)\mathcal{U}(t).$$

## II. jak si počínat, je-li $N = \infty$

*(situace typická pro diferenciální rovnice)*

- (a) volíme, lze-li, vhodné specifické řešitelné modely a modely se symetriemi
- (b) nelze-li, zkusíme pracovat poruchovými metodami
- (c) nelze-li ani to, použijeme diskretizační techniky
- (d) a teprve nelze-li ani to, začneme pracovat metodami numerickými

.  
. .  
. .  
. .  
. .

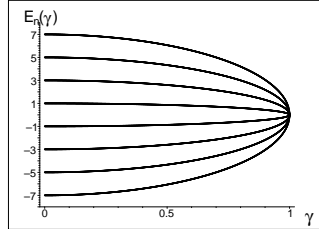
## G. UKÁZKY ZAJÍMAVÝCH VÝSLEDKŮ

## (a) příkladem řešitelného modelu se symetriemi

je bosonový Hubbardův Hamiltonián<sup>18</sup>

$$\widehat{H}(\gamma) = (a_1^\dagger a_2 + a_2^\dagger a_1) - i\gamma (a_1^\dagger a_1 - a_2^\dagger a_2), \quad \gamma \in (0, 1)$$

jehož spektrum  $E_n(\gamma) = n \sqrt{1 - \gamma^2}$ ,  $n \in \{1 - N, 3 - N, \dots, N - 3, N - 1\}$ ,  $N = N_B + 1$  vykazuje 'exceptional point' chování při  $\gamma^{(EP)} = 1$



Obrázek 3: simulace Boseho - Einsteinovy kondenzace při  $N = 8$  a  $\gamma = 1$ .

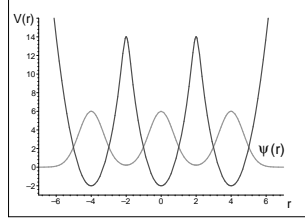
---

<sup>18</sup>Znojil, M. Quantum Rep. 2021, 3, 517–533

## (b) (přibližnou) degeneraci hladin v EP okolí

vykazuje<sup>19</sup>, při  $N = \infty$ , i **lokální** QES potenciál  $V(r) = 4b^2 + 4r^2 + A/B$ ,

$$A = -16br \sinh(2br) e^{-b^2} - 4b^2, \quad B = 2 \cosh(2br) e^{-b^2} + 1.$$



Obrázek 4: Při volbě  $b = 4$  jsou již obě bariéry mezi třemi lokálními minimy potenciálu  $V(r)$  natolik vysoké, že QES vlnová funkce  $\psi(r)$  základního stavu již nevykazuje prakticky žádné měřitelné projevy tunelového efektu. Tento stav je samozřejmě vysoce nestabilní vůči malým poruchám. V EP okolí se tímto způsobem realizuje jev zvaný **kvantová katastrofa**.

---

<sup>19</sup>M. Znojil, Avoided level crossings in quasi-exact approach. Nucl. Phys. B 967 (2021) 115431.

(c) typickým příkladem uplatnění diskretizace souřadnic

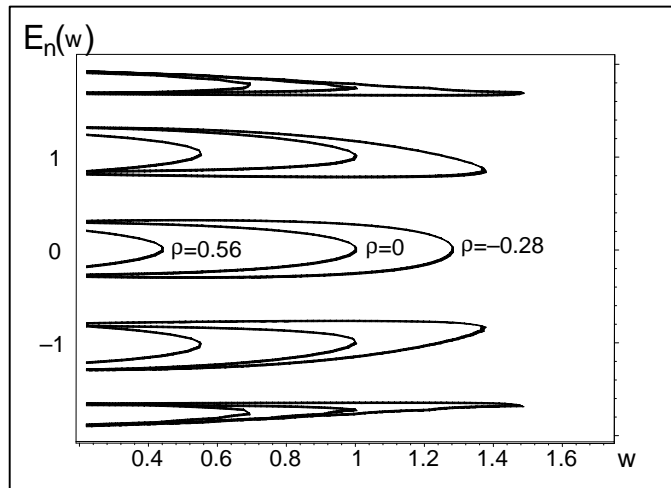
je<sup>20</sup> dvouparametrický Hamiltonián

$$H^{(N)}(\varrho, w) = \left[ \begin{array}{ccccc|cccc} -i\varrho & -1 & 0 & \dots & 0 & 0 & \dots & \dots & 0 \\ -1 & 0 & -1 & \ddots & \vdots & \vdots & \ddots & & \vdots \\ 0 & \ddots & \ddots & \ddots & 0 & \vdots & & & \\ \vdots & \ddots & -1 & 0 & -1 & 0 & & \ddots & \vdots \\ 0 & \dots & 0 & -1 & -iw & -1 & 0 & \dots & 0 \\ \hline 0 & \dots & \dots & 0 & -1 & iw & -1 & 0 & \dots & 0 \\ \vdots & \ddots & & & 0 & -1 & 0 & -1 & \ddots & \vdots \\ & & & & \vdots & 0 & \ddots & \ddots & \ddots & 0 \\ \vdots & & & \ddots & \vdots & \vdots & \ddots & -1 & 0 & -1 \\ 0 & \dots & & \dots & 0 & 0 & \dots & 0 & -1 & i\varrho \end{array} \right].$$

---

<sup>20</sup>M. Znojil, Confluences of exceptional points and a systematic classification of quantum catastrophes. Sci. Rep., in print (arXiv:2202.02554).

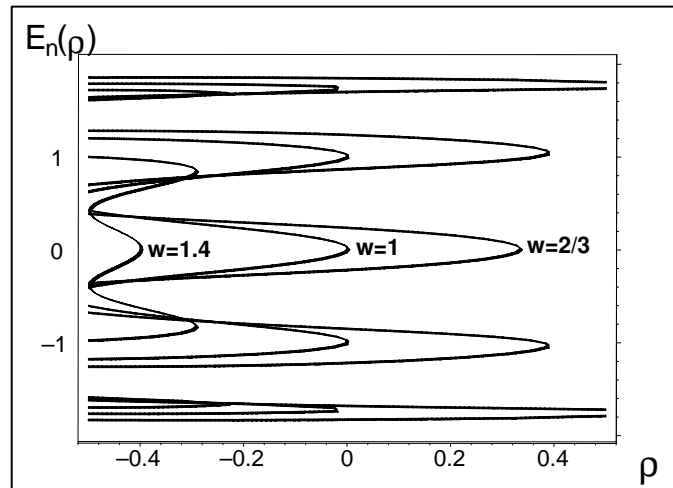
(c1) chování spektra pro  $N = 10$  a při  $\varrho = -0.28$ ,  $\varrho = 0$  nebo  $\varrho = 0.56$



Obrázek 5: Spontánní narušení  $\mathcal{PT}$ -symetrie nastává buď při  $E = 0$  (pro  $w \neq 1$ ) nebo pro všechny hladiny najednou (při  $w = 1$ ; jedná se zde pak o kvantový fázový přechod).



(c2) chování téhož spektra pro  $w = 1.4$ ,  $w = 1$  a  $w = 2/3$



Obrázek 6: Spontánní narušení  $\mathcal{PT}$ -symetrie nastává buď při  $E = 0$  (pro  $\rho \neq 0$ ) nebo pro všechny hladiny najednou (při  $\rho = 0$ ; jedná se rovněž o [kvantový fázový přechod](#)).

**(d) ani počítačové konstrukce nemusejí být bez zajímavosti;**

například pro čtyřparametrickou matici

$$H^{(5)} = \begin{bmatrix} -10 & \sqrt{A} & 0 & 0 & 0 \\ -\sqrt{A} & -8 & \sqrt{B} & 0 & 0 \\ 0 & -\sqrt{B} & -3 & \sqrt{C} & 0 \\ 0 & 0 & -\sqrt{C} & 5 & \sqrt{D} \\ 0 & 0 & 0 & -\sqrt{D} & 16 \end{bmatrix}$$

vyžaduje lokalizace EP5 singularity<sup>21</sup> konstrukci Gröbnerovy báze vedoucí k implicitní identifikaci  $B^{(EP5)}$  s kořenem polynomu

$$41405 B^4 + 42197064 B^3 - 35083975824 B^2 - 23755497730560 B + 1288938668811264 = 0$$

numericky pak vyjdou čtyři hodnoty  $-1318.1571 - 569.5091i$ ,  $50.7046$ ,  $817.8319$  z nichž nakonec jen a právě jeden vede k přijatelnému řešení

$$A^{(EP5)} = 18.6720, \quad B^{(EP5)} = 50.7046, \quad C^{(EP5)} = 80.1181, \quad D^{(EP5)} = 77.5053.$$

---

<sup>21</sup>M. Znojil, Exceptional points and domains of unitarity for a class of strongly non-Hermitian real-matrix Hamiltonians. J. Math. Phys. 62 (2021) 052103

## H. ZÁVĚREČNÉ SHRNU TÍ HLAVNÍCH BODŮ

- horkou novinkou v oboru jsou počítačové manipulace
- obzvláště slibné je studium modelů s diskretními souřadnicemi
- objevuje se i celá řada nových modelů přesně řešitelných
- paradox zdánlivé nehermitovosti KG modelů lze považovat za vyjasněný
- otevírají se tím dnes mnohé nové fenomenologické a fyzikální obzory
- matematické komplikace spojené s nestacionaritami nejsou ovšem malé

✓ pro aplikace modelů KG typu lze proto zodpovězení současných otevřených otázek považovat za jeden z nejdůležitějších úkolů současné matematické a teoretické fyziky